

# **ВІСНИК**

**ВІННИЦЬКОГО  
ПОЛІТЕХНІЧНОГО  
ІНСТИТУТУ**

---

---

---

**1 ——————  
2003**

МІНІСТЕРСТВО ОСВІТИ І НАУКИ УКРАЇНИ  
ВІННИЦЬКИЙ  
ДЕРЖАВНИЙ ТЕХНІЧНИЙ УНІВЕРСИТЕТ  
ВІСНИК ВІННИЦЬКОГО ПОЛІТЕХНІЧНОГО  
ІНСТИТУТУ  
НАУКОВИЙ ЖУРНАЛ

Заснований у грудні 1993 року

Виходить 6 раз на рік

1 (46) — 2003

ЗМІСТ

БУДІВНИЦТВО

Моргун А. С. Визначення несучої спроможності палі та напруженодеформованого стяну системи «паля-основа» за МГЕ.....	5
Сердюк В. Р., Христич О. В. Сингулярні ефекти в радіаційно-захисних властивостях бетелу-М .....	8

ЕКОНОМІКА, МЕНЕДЖМЕНТ ТА ЕКОЛОГІЯ

Мороз О. В., Штефан Л. Б. Методологічні підходи до визначення ефективності сільськогосподарського виробництва.....	13
Мороз О. В., Пашенко О. В. Філософія і методологія наукових пошуків створення ефективної моделі брендингу на регіональних ринках України .....	17

ЕНЕРГЕТИКА ТА ЕЛЕКТРОТЕХНІКА

Чепурний М. М., Ткаченко С. Й., Степанова Н. Д. Дотичні напруги в двофазних турбулентних кільцевих потоках .....	23
Розводюк М. П. Математичні моделі для визначення резервів запасних частин основних функціональних систем трамвая .....	25
Бурбело М. Й., Бабенко О. В. Вимірювання параметрів триелементних електрических двополюсників в умовах несинусоїдності .....	28
Черемисін М. М., Романченко В. І. Ефективність пошуку оптимальних рішень для повітряних ліній України.....	32
Лежнюк П. Д., Гайдамака В. М. Натурно-імітаційне моделювання з використанням критеріального методу в оптимальному керуванні електроенергетичними системами .....	37
Карпов Ю. О., Кулик В. В., Бурикін О. Б. Вплив неоднорідності електроенергетичної системи на процес розрахунку її усталених режимів .....	43

ІНФОРМАЦІЙНІ ТЕХНОЛОГІЇ ТА КОМП'ЮТЕРНА ТЕХНІКА

Мартинюк Т. Б., Хом'юк В. В., Емін С. А., Расенко Р. А. Імітаційне моделювання паралельного сортування випадково розподілених даних .....	48
Марценюк В. П. Пристрій канального кодування в кодах Каутса-Фібоначчі .....	53
Азаров О. Д., Черняк О. І. Метод виділення цілої і дробової частин чисел у кодах золотої пропорції .....	55

<b>Кожем'яко В. П., Павлов С. В., Хані Аль-Зубі.</b> методи та засоби ідентифікації біомедичної інформації на основі КВР-перстворсів .....	58
<b>МАШИНОБУДУВАННЯ</b>	
<b>Бабак М. В., Огородніков В. А., Побережний М. І.</b> Залежність використаного ресурсу пластичності металу під час холодного штамування заготовок клеми переривача-розподільника від геометрії інструмента .....	64
<b>РАДІОЕЛЕКТРОНІКА ТА РАДІОЕЛЕКТРОННЕ АПАРАТОБУДУВАННЯ</b>	
<b>Філинюк М. А., Гаврілов Д. В.</b> Вимірювання мінімально-досяжного дійсного імітансу потенційно-настійкого чотириполосника .....	68
<b>Рудик А. В., Павлов С. М.</b> Амплітудно-фазовий метод вимірювання параметрів високодобротних резонансних контурів .....	72
<b>Волинець В. І.</b> Рекурентні методи обчислення модифікованих дискретних перетворень Фур'є та Хартлі.....	77
<b>Осадчук В. С., Осадчук О. В., Крилик Л. В.</b> Математична модель вологочутливого елемента на основі МДН-конденсатора .....	81
<b>ФУНДАМЕНТАЛЬНІ НАУКИ</b>	
<b>Данилов В. Я., Акбаров Д. Е., Хандріга П. О.</b> Необхідні умови оптимальності для визначення місцеположення меж процесу розповсюдження забруднювальної домішки в атмосфері .....	85
<b>ЮВІЛЕЙ І ЮВІЛЯРИ</b>	
Ректору ВДТУ, головному редактору наукового журналу «Вісник Вінницького політехнічного інституту», професору Борису Івановичу Мокіну – 60 років .....	95
<b>РЕФЕРАТИ</b> .....	97

Видальється за рекомендацією Ученої ради  
Вінницького державного технічного університету,  
протокол № 6 від 30.01.03 р.

Редактор *В. Т. Годзубова*

Комп'ютерна верстка *Г. М. Багдасар'ян, Т. С. Криклива, О. О. Кушнір*

Верстка та оригінал-макет виготовлені в комп'ютерному інформаційно-видавничому центрі  
Вінницького державного технічного університету  
21021, Вінниця, вул. Хмельницьке шосе, 95. Тел.: (0432) 44-05-32.

Підписано до друку 28.02.03. Формат 29,7 × 42 1/2 . Папір офсетний. Гарнітура Peterburg. Друк різографічний.  
Умовн. друк. арк. 12,24. Облік.-вид. арк. 13,36. Тираж 365 прим. Зам. № 2003-053.

Віддруковано в комп'ютерному інформаційно-видавничому центрі Вінницького державного технічного університету.  
21021, Вінниця, вул. Хмельницьке шосе, 95. Тел. 44-01-59.

Свідоцтво про реєстрацію періодичного друкованого видання — КП № 290 від 15.12.93 р.

# РАДІОЕЛЕКТРОНІКА ТА РАДІОЕЛЕКТРОННЕ АПАРАТОБУДУВАННЯ

УДК 621.317

М. А. Філінюк, д.т.н., проф.; Д. В. Гаврілов, асн.

## ВИМІРЮВАННЯ МІНІМАЛЬНО-ДОСЯЖНОГО ДІЙСНОГО ІМІТАНСУ ПОТЕНЦІЙНО-НЕСТІЙКОГО ЧОТИРИПОЛЮСНИКА

Потенційна нестійкість чотириполюсника є від'ємним фактором під час розробки більшості електронних схем. Однак є цілий клас електронних схем (активних НВЧ фільтрів, резонансних підсилювачів, транзисторних керувальних елементів), які використовують такі чотириполюсники. При їх розрахунку найважливішим параметром є значення мінімально-досяжного дійсного імітансу, яку можливо реалізувати на його клемах. Вона може бути визначена, згідно результатів вимірювання імітансних W-параметрів чотириполюсника [1]

$$\operatorname{Re} W_{\min, \text{min}} = \operatorname{Re} W_{22} - \frac{|W_{12}W_{21}| + \operatorname{Re}(W_{12}W_{21})}{2\operatorname{Re} W_{11}}, \quad (1)$$

де  $W_{11}$ ,  $W_{22}$ ,  $W_{12}$ ,  $W_{21}$  – імітанси W-параметрів, де під W-параметрами розуміється будь-яка з чотирьох систем  $y$ -,  $z$ -,  $h$ -,  $g$ -параметрів.

Недоліком такого способу є його низька точність, яка пов'язана з великою похибкою вимірювання W-параметрів чотириполюсника у діапазоні ВЧ. Наприклад, під час вимірювання параметрів транзисторів на частоті 60 МГц похибка вимірювання  $\operatorname{Re} W_{11}$  складає приблизно 20 %, а  $\operatorname{Im} W_{11}$  – дорівнює 50% і зі збільшенням частоти росте [2]. На низьких частотах під час вимірювання W-параметрів таких чотириполюсників також виникають великі похибки, які пов'язані з неконтрольованим самозбудженням вимірювальної установки, внаслідок потенційної нестійкості чотириполюсника, який вимірюється. У зв'язку з цим виникла задача розроблення нового способу вимірювання  $\operatorname{Re} W_{\min, \text{min}}$ , який забезпечував би підвищення точності та розширення частотного діапазону вимірювань.

Суть винаходу полягає в визначенні шуканої величини  $\operatorname{Re} W_{\min, \text{min}}$  за результатами вимірювання потужності сигналу генератора, що пройшов через досліджуваний чотириполюсник на вході якого ввімкнено навантажувальні резистори з відомим дійсним імітансом.

Відомо [3], що чисельно запас стійкості чотириполюсника можливо оцінити його внутрішнім інваріантним коефіцієнтом стійкості

$$K_{C.B} = \frac{\operatorname{Re} W_{11} \operatorname{Re} W_{22} - \operatorname{Re}(W_{12}W_{21})}{|W_{12}W_{21}|}. \quad (2)$$

У випадку, коли  $K_{C.B} < 1$ , чотириполюсник є потенційно-нестійким і на його вхідних чи вихідних клемах з визначеними імітансами навантаження  $W_H$  чи генератора  $W_T$ , відповідно, може бути реалізований від'ємний опір (провідність). Підставивши (2) в (1) знаходимо значення цього імітансу

$$\operatorname{Re} W_{\min, \text{min}} = \frac{|W_{12}W_{21}|}{2\operatorname{Re} W_{11}} (K_{C.B} - 1). \quad (3)$$

У випадку, якщо на виході чотириполюсника  $W_H = 0$ , а на вході послідовно вмикаються імітанси  $W_1$  та  $W_2$ , інваріантний коефіцієнт стійкості такого навантаженого чотириполюсника буде дорівнювати [1]

$$K_{C1} = \frac{\operatorname{Re}(W_{11} + W_1) \operatorname{Re} W_{22} - \operatorname{Re}(W_{12} W_{21})}{|W_{12} W_{21}|}; \quad (4)$$

$$K_{C2} = \frac{\operatorname{Re}(W_{11} + W_2) \operatorname{Re} W_{22} - \operatorname{Re}(W_{12} W_{21})}{|W_{12} W_{21}|}. \quad (5)$$

Вибираючи достатньо великі значення  $\operatorname{Re} W_1$  і  $\operatorname{Re} W_2$ , завжди можна забезпечити потенційну стійкість чотириполюсника, тобто  $K_{C1} > 1$  і  $K_{C2} > 1$ .

Розв'язуючи (2, 4, 5), знаходимо

$$K_{C_{\text{вх}}} = \frac{K_{C2} \operatorname{Re} W_1 - K_{C1} \operatorname{Re} W_2}{\operatorname{Re}(W_1 - W_2)}; \quad (6)$$

$$\frac{|W_{12} W_{21}|}{2 \operatorname{Re} W_{11}} = \frac{\operatorname{Re}(W_1 - W_2)}{K_{C1} - K_{C2}}. \quad (7)$$

Підставляючи (6) та (7) в (3), отримаємо:

$$\operatorname{Re} W_{\text{вих.мін.}} = \frac{\operatorname{Re} W_2 (K_{C1} - 1) - \operatorname{Re} W_1 (K_{C2} - 1)}{K_{C1} - K_{C2}}. \quad (8)$$

Таким чином із (8) можна зробити висновок, що для знаходження  $\operatorname{Re} W_{\text{вих.мін.}}$ , з відомими  $\operatorname{Re} W_1$  і  $\operatorname{Re} W_2$ , достатньо виміряти інваріантні коефіцієнти стійкості  $K_{C1}$  і  $K_{C2}$  абсолютно стійкого навантаженого чотириполюсника, що дозволяє запобігти похибки вимірювань за рахунок неконтрольованого самозбудження вимірювальної установки.

Значення  $K_{C1}$  і  $K_{C2}$  можна визначити за результатами вимірювання потужності сигналу, що пройшов через навантажений чотириполюсник у прямому і зворотному напрямках, з його двостороннім узгодженням. Дійсно, під час подачі електромагнітних коливань на вход чотириполюсника з ввімкненим на його вході імітансом  $W_1$ , коли вхідний імітанс навантаженого чотириполюсника узгоджений з імітансом генератора, потужність сигналу на його виході, що поступає в узгоджене навантаження буде дорівнювати [1]

$$P_{11} = P_T K_{\text{ном.1}}, \quad (9)$$

де:  $P_T$  – потужність генератора,  $K_{\text{ном.1}}$  – номінальний коефіцієнт прямої передачі навантаженого чотириполюсника по потужності.

Під час подачі електромагнітних коливань генератора на виход чотириполюсника з ввімкненим на його вході імітансом  $W_1$  в режимі узгодження, потужність сигналу на його вході буде дорівнювати

$$P_{12} = P_T K_{\text{ном.2}}, \quad (10)$$

де  $K_{\text{ном.2}}$  – номінальний коефіцієнт зворотної передачі по потужності навантаженого чотириполюсника.

Аналогічне співвідношення отримаємо для режиму узгодження у випадку ввімкнення на вході чотириполюсника другого імітансу  $W_2$ :

$$P_{21} = P_T K_{\text{ном.10}}; \quad (11)$$

$$P_{22} = P_T K_{\text{ном.20}}, \quad (12)$$

Відомий однозначний зв'язок між номінальними коефіцієнтами передачі по потужності потенційно-стійких чотириполюсників та їх інваріантними коефіцієнтами стійкості [4]:

$$K_{\text{ном.1}} = \frac{|W_{21}|}{|W_{12}|} \left( K_{C1} - \sqrt{K_{C1}^2 - 1} \right); \quad (13)$$

$$K_{\text{ном.}2} = \left| \frac{W_{12}}{W_{21}} \right| \left( K_{C1} - \sqrt{K_{C1}^2 - 1} \right); \quad (14)$$

$$K_{\text{ном.}10} = \left| \frac{W_{21}}{W_{12}} \right| \left( K_{C2} - \sqrt{K_{C2}^2 - 1} \right); \quad (15)$$

$$K_{\text{ном.}20} = \left| \frac{W_{12}}{W_{21}} \right| \left( K_{C2} - \sqrt{K_{C2}^2 - 1} \right). \quad (16)$$

Розв'язуючи (13–16) відносно  $K_{C1}$  і  $K_{C2}$ , з урахуванням (9–12), знаходимо

$$K_{C1} = \frac{P_T^2 + P_{11}P_{12}}{2P_T\sqrt{P_{11}P_{12}}}; \quad (17)$$

$$K_{C2} = \frac{P_T^2 + P_{21}P_{22}}{2P_T\sqrt{P_{21}P_{22}}}; \quad (18)$$

Таким чином з виразів (8, 17 та 18) випливає, що для визначення  $\text{Re}W_{\text{вих.}min}$ , якщо відомі  $\text{Re}W_1$ ,  $\text{Re}W_2$  та постійна потужність генератора, достатньо виміряти потужності сигналу, який пройшов через навантажений чотириполюсник у прямому та зворотному напрямках. При цьому методична похибка вимірювання  $\text{Re}W_{\text{вих.}min}$  визначається похибкою завдання значень дійсної складової імітанців  $W_1$  і  $W_2$ , стабільністю потужності генератора  $P_T$  та похибкою вимірювання потужності електромагнітних коливань ( $P_{11}$ ,  $P_{12}$ ,  $P_{21}$ ,  $P_{22}$ ), які пройшли через навантажений чотириполюсник. Наприклад, з використанням генератора сигналів ГЧ-144, транзисторного моста типу МЗ-11 та зразкових опорів типу CR0402 у діапазоні частот 1–3Гц, методична похибка, яка розрахована за методикою [5], не перевищує 8 %. Враховуючи, що у виразі (8) в чисельнику та знаменнику знаходяться рівності величин, які залежать від потужності вимірювальних електромагнітних коливань, методична похибка визначається в основному похибкою завдання  $\text{Re}W_1$  і  $\text{Re}W_2$ . Крім того, пониження похибки вимірювань досягається за рахунок того, що результат вимірювань не залежить від реактивних складових імітанців  $W_1$  та  $W_2$ , що дозволяє запобігти впливу паразитних індуктивностей резисторів та контактодержачів.

Для здійснення вимірювань  $\text{Re}W_{\text{вих.}min}$  використана установка, структурна схема якої показана на рис. 1.

На схемі:  $||W||$  – потенційно-нестійкий чотириполюсник; К1–К3 – комутатори; УК1 та УК2 – погоджувальні кола; Г – вимірювальний генератор; ВП – вимірювач потужності. Для забезпечення режиму узгодження використовувались погоджувальні трансформатори типу Э1–46.

Враховуючи, що вимірювання  $\text{Re}W_{\text{вих.}min}$  зводяться до вимірювання потужності сигналу, який пройшов через чотириполюсник, що з високою точністю може бути здійснено в широкому діапазоні частот (наприклад, в діапазоні частот  $10^{-3}+11,5$  Гц під час використання приладу МЗ-11 похибка не перевищує  $\pm(5,8+6 \cdot 10^{-2}/p_x) \%$ ), запропонований спосіб придатний для діапазону НВЧ.

Як експериментальну перевірку способу були проведені вимірювання мінімально-досягнутої дійсної вихідної провідності біполярного транзистора, що включений за схемою з загальним колектором та базою і польового транзистора, який включений за схемою з загальним стоком і затвором, які у широкому діапазоні частот володіють потенційно нестійкістю та використовуються для отримання від'ємної диференційної провідності. Результати експериментальних досліджень показані на рис. 2.

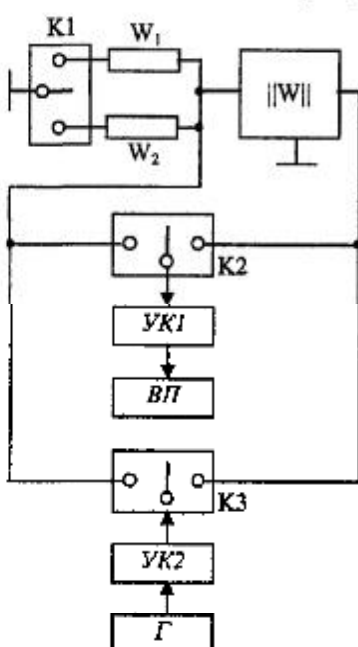


Рис. 1. Структурна схема установки для вимірювання дійсного імітансу потенційно-нестійкого чотириполюсника

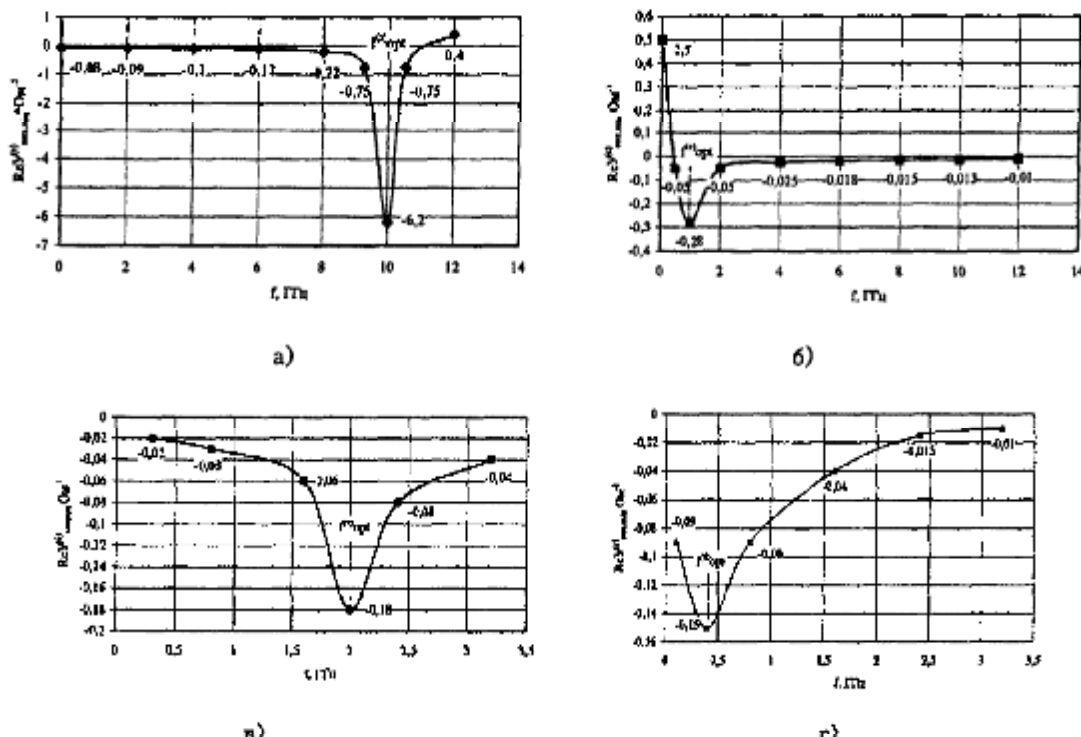


Рис. 2. Частотні залежності мінімально-досяжної дійсної вихідної провідності польового транзистора АП321 ( $I_c = 10$  мА,  $U_3 = -1,5$  В), який включений за схемою з загальним затвором (а) і стоком (б) і біполярного транзистора КТ315 ( $I_e = 5$  мА,  $U_{eb} = 5$  В) в схемі з загальною базою (в) і загальним колектором (г)

Як видно із графіків, у всіх схем включення транзистора є оптимальна частота  $f_{opt}$  на якій спостерігається екстремальне значення  $ReY_{vih,min}$ .

Ця частота значно більша у транзисторів, які включенні за схемою з загальним затвором ( $f^{(3)}_{opt} = 9,5$  ГГц) та базою ( $f^{(6)}_{opt} = 2$  ГГц), чим у транзисторів, які включенні за схемою з загальним стоком ( $f^{(c)}_{opt} = 1,2$  ГГц) та загальним колектором ( $f^{(k)}_{opt} = 0,4$  ГГц). На цих частотах польові транзистори мають у декілька разів більші значення від'ємної дійсної провідності, ніж біполярний транзистор. Смуга частот, у якій транзистор володіє від'ємною дійсною провідністю у польових транзисторів також більша, ніж у біполярних транзисторів.

### Висновки

1. Мінімально-досяжний дійсний імітансь потенційно-нестійкого чотиріполюсника характеризує його потенційні можливості в процесі синтезу від'ємних опорів та провідностей.

2. Запропонована методика вимірювання мінімально-досяжного дійсного імітансу потенційно-нестійких чотиріполюсників основана на вимірюванні величини потужності сигналу, який проходить через навантажений чотиріполюсник в прямому та зворотному напрямку з його двостороннім погодженням. Похибка таких вимірювань в діапазоні частот  $10^{-3} \div 11,5$  ГГц не перевищує  $\pm(5,8+6 \cdot 10^{-2}/p_x)$ .

3. Експериментальні дослідження польового та біполярного транзисторів з включенням їх за схемою з загальним затвором (базою) та стоком (колектором) виконані за допомогою запропонованого способу показали наявність оптимальних частот, де  $ReY_{vih,min}$  має екстремальне значення. Ці частоти більше у схем з загальним затвором та загальною базою.

### СПИСОК ЛІТЕРАТУРИ

- Богачев В. М., Никифоров В. В. Транзисторные усилители мощности. — М.: Энергия, 1978. — 344 с.
- Транзисторы. Параметры, методы измерений и испытаний. Под ред. И. Г. Бергельсона, Ю. А. Каменецкого, И. Ф. Николаевского. М.: Сов. радио, 1968. — 504 с.
- Куликовский А. А. Устойчивость активных линеаризованных цепей с усилительными приборами новых типов. — М.: Госэнергопиздат, 1962. — 192 с.

4. Филинок Н. А. Активные СВЧ фильтры на транзисторах. — М.: Радио и связь, 1987. — 112 с.  
 5. Бондаренко И. К., Дейнега Г. А., Маграчев З. В. Автоматизация измерений параметров СВЧ трактов. — М.: Сов. радио, 1969. — 304 с.

Рекомендована кафедрою проектування комп'ютерної та телекомунікаційної апаратури

Надійшла до редакції 22.01.02  
 Рекомендована до опублікування 18.04.02

**Філинок Микола Антонович** — завідувач кафедри; **Гаврилов Дмитро Володимирович** — аспірант.

Кафедра проектування комп'ютерної та телекомунікаційної апаратури, Вінницький державний технічний університет

УДК 621.317.625

**А. В. Рудик, к. т. н., доц.; С. М. Павлов, к. т. н., доц.**

## ДО ВИЗНАЧЕННЯ ОСНОВНИХ ПАРАМЕТРІВ ВАРИКАПІВ

У коливальних контурах сучасних систем радіозв'язку як електрично керовані ємності використовуються варикапи. Принцип роботи варикапа оснований на використанні залежності ємності електричного переходу від напруги [1]. Варикапи також використовуються в пристроях керування частотою коливального контуру, в параметричних схемах підсилення, ділення та множення частоти, в схемах частотної модуляції, керованих фазообертачах тощо.

Параметрами варикапа є:

- номінальна ємність  $C_H$ , тобто ємність між виводами варикапа з номінальною напругою зміщення;
- максимальна ємність  $C_{\max}$ , тобто ємність варикапа з заданою мінімальною напругою зміщення;
- мінімальна ємність  $C_{\min}$ , тобто ємність варикапа з заданою максимальною напругою зміщення;
- коефіцієнт перекриття ємності  $K_C = C_{\max}/C_{\min}$ ;
- температурний коефіцієнт ємності  $TKC = \frac{dC}{C_H dT}$ , тобто відносна зміна ємності варикапа зі зміною температури навколошнього середовища на 1 К в робочому діапазоні температур та заданій напрузі зміщення;
- номінальна добротність варикапа  $Q_B$ , тобто відношення реактивного опору варикапа до повного опору втрат з номінальною напругою зміщення на заданій частоті;
- температурний коефіцієнт добротності  $TKQ_B = \frac{dQ_B}{Q_B dT}$ , тобто відносна зміна добротності варикапа зі зміною температури навколошнього середовища на 1 К в заданому інтервалі температур;
- частотний діапазон роботи варикапа  $f_{\min} \div f_{\max}$ , що визначається граничними частотами, на яких добротність варикапа дорівнює одиниці; при цьому граничні частоти варикапа  $f_{\min} = \frac{1}{2\pi C_{\text{баз}} R_{II}}$  та  $f_{\max} = \frac{1}{2\pi C_{\text{баз}} r_S}$ , де  $r_S = r_E + r_B$  — опір втрат в емітерній та базовій областях варикапа;  $R_{II}$  — опір переходу з прикладанням до варикапа зворотної напруги.